

12

DEMANDE DE BREVET D'INVENTION

A1

22 Date de dépôt : 02.10.00.

30 Priorité :

43 Date de mise à la disposition du public de la demande : 05.04.02 Bulletin 02/14.

56 Liste des documents cités dans le rapport de recherche préliminaire : *Se reporter à la fin du présent fascicule*

60 Références à d'autres documents nationaux apparentés :

71 Demandeur(s) : *ALCATEL Société anonyme* — FR.

72 Inventeur(s) : *NOIRIE LUDOVIC, DOTARO EMMA-
NUEL et BLAIZOT CAROLINE.*

73 Titulaire(s) :

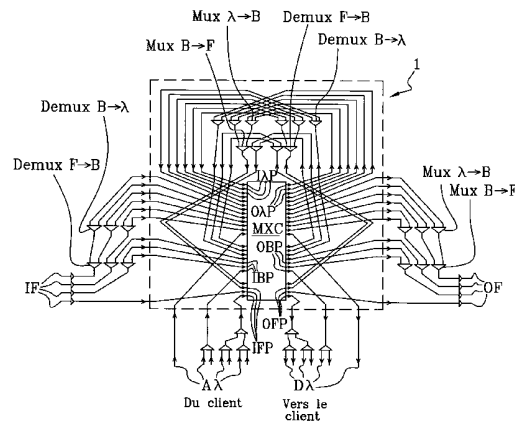
74 Mandataire(s) : *COMPAGNIE FINANCIERE ALCA-
TEL.*

54 COMMUTATEUR POUR RESEAU DE TRANSMISSION OPTIQUE UTILISANT LE MULTIPLEXAGE EN LONGUEUR D'ONDE.

57 Le commutateur comprend p1 ports d'entrée (I P) recevant p1 longueurs d'onde et des premiers moyens d'aiguillage pour aiguiller les p1 longueurs d'onde vers p2 ports de sortie (O P), q1 ports d'entrée (IBP) recevant q1 bandes de longueurs d'onde et des seconds moyens d'aiguillage pour aiguiller les q1 bandes vers q2 ports de sortie (OBP), r1 ports d'entrée (IFP) recevant r1 groupements de bandes et des troisièmes moyens d'aiguillage pour aiguiller les r1 groupements de bandes vers r2 ports de sortie (OFF).

Les trois moyens d'aiguillage sont constitués d'une matrice de commutation unique (MXC) apte à coupler l'un quelconque des p1+q1+r1 ports d'entrée à l'un quelconque des p2+q2+r2 ports de sortie.

Cette architecture à matrice unique permet de commuter toutes les granularités à la fois ce qui facilite les reconfigurations en fonction de l'évolution du trafic devant être commuté.



**COMMUTATEUR POUR RESEAU DE TRANSMISSION OPTIQUE
UTILISANT LE MULTIPLEXAGE EN LONGUEUR D'ONDE**

La présente invention se rapporte à un commutateur destiné à être mis en œuvre dans un réseau de communication optique utilisant le multiplexage en longueurs d'onde.

5 La présente invention se situe dans le domaine des commutateurs optiques, ou nœuds de commutation optique, présentant une architecture dite à "multi-granularité". La "granularité" est une notion qui se rapporte à des ensembles prédéfinis de ressources de transmission
10 (typiquement les longueurs d'onde porteuses ou les multiplex de longueurs d'onde), les ressources d'un tel ensemble pouvant être considérées comme un tout pour certains traitements communs (typiquement la commutation). Une architecture à "multi-granularité"
15 prend donc en compte différents niveaux de granularité pour commuter le trafic total au niveau d'un commutateur. Par exemple, une partie du trafic total peut être commutée au niveau dit "fibre", c'est-à-dire regroupant la totalité des longueurs d'onde
20 susceptibles d'être véhiculées par une fibre optique, qui correspond donc au niveau de granularité le plus élevé. Une autre partie peut être commutée au niveau bande de longueurs d'onde, qui correspond à un niveau de granularité intermédiaire. Une dernière partie peut
25 être commutée au niveau longueur d'onde, qui correspond au niveau de granularité le plus faible. Des niveaux intermédiaires de granularité peuvent encore être définis.

La mise en œuvre d'une architecture à multi-granularité permet de limiter l'accroissement de la complexité des commutateurs dans les réseaux optiques.

En effet, les télécommunications connaissent
5 actuellement un essor très important se traduisant par des besoins accrus en transmission de données. La transmission par fibre optique est particulièrement impliquée par ce phénomène et la quantité de données transmises par les réseaux optiques est en constante
10 augmentation. Cela se traduit par une augmentation du nombre de fibres installées dans les réseaux ainsi que du nombre de longueurs d'onde porteuses utilisées.

Une fibre optique est désormais capable de transmettre jusqu'à 256 longueurs d'onde, chaque
15 longueur d'onde pouvant assurer un débit de données de 10 gigabits (1 Gbit = 10^9 bits) par seconde. Ainsi, suivant le nombre de fibres qui arrivent à l'entrée du commutateur optique, le débit total à commuter peut être supérieur à plusieurs dizaines de terabits (1 Tbit
20 = 10^{12} bits) par seconde.

Un commutateur optique qui présente une architecture à multi-granularité permet de traiter de tels débits de données en commutant en partie des longueurs d'onde et en partie des bandes de longueurs
25 d'onde, c'est-à-dire respectivement des canaux mono-longueur d'onde et des multiplex de longueurs d'onde. Le commutateur peut en outre traiter des groupements de bandes. Selon encore une autre possibilité, il pourrait aussi ne traiter que des bandes de longueurs d'onde et
30 des groupements de bandes. Pour simplifier l'exposé et à titre d'exemple seulement nous considérerons dans la

suite le cas à trois niveaux de granularité : longueur d'onde, bande et "fibre", ce dernier niveau correspondant à un cas particulier de groupement de bandes regroupant la totalité des longueurs d'onde susceptibles d'être véhiculées par une fibre optique.

La figure 1 présente un schéma d'un nœud de commutation optique avec une architecture à multi-granularité, selon l'art antérieur.

Avec l'architecture à multi-granularité, on est passé de nœuds de commutation monoblocs à des nœuds de commutation constitués d'un empilement de sous-nœuds. Chaque sous-nœud de commutation est affecté à un niveau correspondant de granularité. Ainsi, on a dans l'exemple représenté un sous-nœud de commutation FXC associé au niveau de granularité "fibre" (qui est un cas particulier de groupement de bandes), un sous-nœud de commutation BXC associé au niveau de granularité "bande", et un sous-nœud de commutation WXC associé au niveau de granularité "longueur d'onde".

Sur la figure 1, les fibres entrantes IF sont d'abord envoyées sur les ports d'entrée IP du sous-nœud de commutation FXC. Parmi les fibres entrantes IF, quelques fibres sont directement commutées vers les fibres de sortie OF à travers les ports de sortie OP du sous-nœud de commutation FXC. Une fibre AF est directement insérée du client sur un port d'insertion de fibre P_{ins} du sous-nœud de commutation FXC. Une fibre DF est extraite à partir d'un port d'extraction de fibre P_{ext} du sous-nœud FXC et est envoyée vers le client. La fibre DF doit être démultiplexée en longueurs d'onde pour le client, mais les

démultiplexeurs ne sont pas représentés sur la figure. Des fibres F_{bf} sont insérées à partir du sous-nœud de commutation BXC sur des ports d'insertion de fibre P_{ins} du sous-nœud FXC. Ces fibres F_{bf} proviennent du
5 multiplexeur bande - fibre Mux B F qui assure le multiplexage des bandes issues des ports de sortie OP du sous-nœud de commutation BXC. Enfin, des fibres F_{fb} sont extraites du sous-nœud FXC à travers des ports d'extraction et sont envoyées vers les ports d'entrée
10 IP du sous-nœud BXC après démultiplexage des fibres en bandes dans le démultiplexeur fibre - bande Demux F B.

Le même processus de commutation se retrouve au niveau de granularité immédiatement inférieur, c'est-à-dire dans le sous-nœud de commutation au niveau de
15 granularité bande BXC, ainsi qu'au niveau de granularité le plus faible, c'est-à-dire dans le sous-nœud de commutation au niveau de granularité longueur d'onde WXC.

Parmi les bandes qui arrivent sur les ports
20 d'entrée IP du sous-nœud BXC, quelques-unes sont commutées vers les ports de sortie OP du sous-nœud BXC. Une bande AB est directement insérée du client sur un port d'insertion du sous-nœud BXC. Une bande DB est extraite à travers un port d'extraction P_{ext} du sous-
25 nœud FXC et est envoyée vers le client. La bande DB doit être démultiplexée en longueurs d'onde pour le client, mais les démultiplexeurs ne sont pas représentés sur la figure. Des bandes B_b sont insérées à partir du sous-nœud de commutation WXC sur des ports
30 d'insertion P_{ins} du sous-nœud BXC. Ces bandes B_b proviennent du multiplexeur Mux B, qui assure le

multiplexage en bande des longueurs d'onde issues des ports de sortie OP du sous-nœud de commutation BXC. Enfin, des bandes B_b sont extraites du sous-nœud BXC à travers des ports d'extraction et sont envoyées vers
5 les ports d'entrée IP du sous-nœud WXC après démultiplexage des bandes en longueurs d'onde dans le démultiplexeur bande - longueur d'onde demux B .

Le même processus de commutation se retrouve encore une fois dans le sous-nœud WXC. Parmi les
10 longueurs d'onde qui arrivent sur les ports d'entrée IP du sous-nœud WXC, quelques-unes sont commutées vers les ports de sortie OP du sous-nœud WXC. Des longueurs d'onde A sont directement insérées du client sur des ports d'insertion P_{ins} du sous-nœud WXC. Des longueurs
15 d'onde D sont extraites à travers des ports d'extraction du sous-nœud WXC et sont envoyées vers le client.

Cette architecture selon l'art antérieur, telle qu'elle vient d'être décrite en liaison avec la figure
20 1, met en œuvre des matrices de commutation (typiquement à base de commutateurs optiques "cross-bar") séparées pour chaque niveau de granularité. Le niveau de granularité fibre est traité dans la matrice de commutation FXC, le niveau de granularité bande est
25 traité dans la matrice de commutation BXC et le niveau de granularité longueur d'onde est traité dans la matrice de commutation WXC. On a donc une matrice de commutation spécifique par granularité. Pour des nombres donnés de ports d'entrée affectés
30 respectivement aux trois niveaux de granularité, cette

solution est celle qui permet de limiter au mieux la complexité et la taille de l'ensemble.

Cependant, le nombre de ports d'entrée/sortie de chacune des matrices de commutation allouée à chaque
5 niveau de granularité étant figé, ceci devient un inconvénient si on envisage de faire évoluer cette architecture pour l'adapter aux changements du trafic au cours du temps.

Prenons un exemple concret pour une telle
10 architecture avec 10 Gbit/s de débit par longueur d'onde, 16 longueurs d'onde par bande et 10 bandes par fibre. Il peut être nécessaire de commuter :

- dans une étape initiale : 500 longueurs d'onde, aucune bande, aucune fibre, ce qui représente un débit
15 total de 5 Tbit/s;
- dans une seconde étape : 250 longueurs d'onde, 250 bandes, aucune fibre, ce qui représente un débit total de 42,5 Tbit/s;
- dans une troisième étape : 100 longueurs d'onde, 400
20 bandes, aucune fibre, ce qui représente un débit total de 65 Tbit/s;
- dans une quatrième étape : 100 longueurs d'onde, 300 bandes, 100 fibres, ce qui représente un débit total de 209 Tbit/s;
- 25 - dans une cinquième étape : aucune longueur d'onde, 200 bandes, 300 fibres, ce qui représente un débit total de 512 Tbit/s;

Au cours de la première étape, il faut prévoir une matrice de commutation WXC 500*500 (ce qui signifie un
30 nombre d'états de la matrice égal à 500*500) pour la granularité longueur d'onde. Cependant, cette matrice

de commutation WXC ne sera pas complètement utilisée dans les étapes suivantes.

Dans la troisième étape, il est nécessaire de prévoir une matrice de commutation BXC 400*400 pour la
5 granularité bande. Mais, au cours de la cinquième étape, la moitié seulement des ports d'entrée/sortie de cette matrice seront utilisés.

Enfin, dans la cinquième étape, une matrice de commutation FXC 300*300 pour la granularité fibre est
10 nécessaire. Là encore, cette matrice de commutation est sous-utilisée dans les autres étapes.

Ainsi, selon l'exemple d'évolution précédent, avec l'architecture de l'art antérieur, le nombre total de ports d'entrée à prévoir dans le commutateur optique
15 est égal à 1200, et ne sera que partiellement utilisé.

Aussi, le but de la présente invention est de mettre en œuvre une architecture permettant de commuter différents niveaux de granularité, tout en évitant les inconvénients de l'art antérieur, c'est-à-dire en
20 prévoyant une architecture qui soit optimale non pas à une étape donnée de l'évolution du trafic à commuter mais pour un ensemble de configurations adaptées tout au long de cette évolution.

A cet effet, l'invention propose d'utiliser une
25 seule et même matrice de commutation pour commuter tous les niveaux de granularité à la fois. Les trois matrices de commutation séparées selon l'art antérieur, correspondant respectivement à un niveau de granularité fibre, bande et longueur d'onde, sont remplacées par
30 une matrice de commutation unique qui traite toutes les granularités. Selon les besoins, c'est-à-dire selon le

trafic à commuter, des nombres adaptés de ports de la matrice unique seront affectés respectivement à un niveau de granularité faible (les longueurs d'onde), à un niveau de granularité intermédiaire (les bandes de longueurs d'onde), enfin à un niveau de granularité élevé (les fibres).

L'invention concerne donc un commutateur optique pour réseau optique utilisant le multiplexage en longueur d'onde, comprenant :

- 10 - p_1 ports d'entrée recevant respectivement p_1 longueurs d'onde, p_2 ports de sortie, et des premiers moyens d'aiguillage aptes à aiguiller les longueurs d'onde reçues sur lesdits p_1 ports d'entrée sélectivement vers lesdits p_2 ports de sortie, et/ou
- 15 - q_1 ports d'entrée recevant respectivement q_1 bandes de longueurs d'onde, q_2 ports de sortie, et des seconds moyens d'aiguillage aptes à aiguiller les bandes de longueurs d'onde reçues sur lesdits q_1 ports d'entrée sélectivement vers lesdits q_2 ports de sortie, et/ou
- 20 - r_1 ports d'entrée recevant respectivement r_1 groupements de bandes, r_2 ports de sortie, et des troisièmes moyens d'aiguillage aptes à aiguiller les groupements de bandes reçus sur lesdits r_1 ports d'entrée sélectivement vers lesdits r_2 ports de sortie,
- 25 ledit commutateur comportant au moins deux desdits premiers, seconds et troisièmes moyens d'aiguillage, caractérisé en ce que lesdits premiers, seconds et troisièmes moyens d'aiguillage sont constitués d'une matrice de commutation unique apte à coupler l'un
- 30 quelconque desdits $p_1+q_1+r_1$ ports d'entrée à l'un quelconque desdits $p_2+q_2+r_2$ ports de sortie.

D'autres caractéristiques et avantages de l'invention apparaîtront plus clairement à la lecture de la description suivante d'un exemple particulier de réalisation en référence aux figures dans lesquelles :

- 5 - la figure 1 est un schéma d'un commutateur optique mettant en œuvre une architecture à multi-granularité selon l'art antérieur, telle que décrite dans le préambule ci-dessus;
- 10 - la figure 2 est un schéma d'un commutateur optique selon la présente invention.

Dans le mode de réalisation préféré de l'invention décrit ci-dessous en référence à la figure 2, le nombre de niveaux de granularité est égal à trois : la longueur d'onde, la bande de longueurs d'onde et la fibre. L'invention peut néanmoins être mise en œuvre avec un nombre de niveaux de granularité égal à deux ou supérieur à trois.

20 Des fibres entrantes IF sont reçues en entrée du commutateur 1 qui délivre en sortie des fibres sortantes OF. Une série de longueurs d'onde A est également ajoutée de chez le client vers le commutateur 1, tandis qu'une série de longueurs d'onde D est extraite du commutateur 1 vers le client.

25 Le commutateur 1 met en œuvre une matrice de commutation à multi-granularité unique MXC qui comprend une première série de ports d'entrée I P, d'un nombre égal à p_1 , affectés au niveau de granularité longueur d'onde pour recevoir respectivement p_1 longueurs d'onde, une deuxième série de ports d'entrée IBP, d'un nombre égal à q_1 , affectés au niveau de granularité

30

bande de longueurs d'onde pour recevoir respectivement q_1 bandes de longueurs d'onde et une troisième série de ports d'entrée IFP, d'un nombre égal à r_1 , affectés au niveau de granularité fibre pour recevoir respectivement r_1 fibres.

La matrice unique MXC comprend également, en correspondance avec les ports d'entrée, une première série de ports de sortie OP, d'un nombre égal à p_2 , affectés au niveau de granularité longueur d'onde, une deuxième série de ports de sortie OBP, d'un nombre égal à q_2 , affectés au niveau de granularité bande de longueurs d'onde et une troisième série de ports de sortie OFP, d'un nombre égal à r_2 , affectés au niveau de granularité fibre.

A l'entrée du commutateur 1 dont le cœur est délimité par une ligne en pointillés à la figure 2, se trouve une interface d'entrée constituée d'un ensemble de démultiplexeurs fibre - bande $Demux_{F-B}$ et de démultiplexeurs bande - longueur d'onde $Demux_{B-\lambda}$. A la sortie du commutateur 1, se trouve une interface de sortie constituée d'un ensemble de multiplexeurs longueur d'onde - bande $MUX_{\lambda-B}$ et de multiplexeurs bande - fibre MUX_{B-F} . L'interface de sortie peut également comporter des convertisseurs de longueur d'onde, des convertisseurs de bande et/ou des régénérateurs, non représentés sur la figure 2. Néanmoins, leur présence est optionnelle.

Dans le cœur du commutateur 1 se trouve une zone de réarrangement interne constituée d'une part, d'un ensemble de démultiplexeurs fibre - bande $Demux_{F-B}$ et de démultiplexeurs bande - longueur d'onde $Demux_{B-\lambda}$, du

même type que ceux décrits précédemment et, d'autre part, d'un ensemble de multiplexeurs longueur d'onde - bande MUX λ -B et de multiplexeurs bande - fibre MUX B-F, également du même type que ceux décrits précédemment.

5 Parmi les fibres entrantes IF, certaines, après avoir d'abord été démultiplexées en bandes à travers les démultiplexeurs fibre - bande Demux F-B, sont à nouveau démultiplexées en longueur d'onde à travers les démultiplexeurs bande - longueur d'onde Demux B- λ puis
10 sont envoyées sur les p1 ports d'entrée affectés aux longueurs d'onde $I\lambda P$ de la matrice unique MXC. Les longueurs d'onde sont alors commutées, par l'intermédiaire de premiers moyens d'aiguillage, vers les p2 ports de sortie affectés aux longueurs d'onde
15 $O\lambda P$ de la matrice MXC. Les premiers moyens d'aiguillage sont constitués par la matrice de commutation unique MXC et permettent d'aiguiller les longueurs d'onde reçues sur les p1 ports d'entrée affectés aux longueurs d'onde sélectivement vers les p2 ports de sortie
20 affectés aux longueurs d'onde.

D'autres fibres entrantes IF sont démultiplexées en bandes de longueurs d'onde à travers les démultiplexeurs fibre-bande Demux F-B et sont envoyées vers les q1 ports d'entrée affectés aux bandes de
25 longueurs d'onde IBP de la matrice MXC. Les bandes de longueur d'onde sont alors commutées, par l'intermédiaire de seconds moyens d'aiguillage, vers les q2 ports de sortie affectés aux bandes de longueur d'onde OBP de la matrice MXC. Les seconds moyens
30 d'aiguillage sont constitués par la matrice de

commutation unique MXC et permettent d'aiguiller les bandes de longueurs d'onde reçues sur les q_1 ports d'entrée sélectivement vers les q_2 ports de sortie.

Enfin, certaines fibres entrantes IF sont envoyées
5 directement sur les r_1 ports d'entrée affectés aux fibres IFP de la matrice MXC pour être commutées, par l'intermédiaire de troisième moyens d'aiguillage, vers les r_2 ports de sortie affectés aux fibres OFP de la matrice MXC. Ces troisièmes moyens d'aiguillage sont
10 constitués par la matrice de commutation unique MXC et permettent d'aiguiller les fibres reçues sur les r_1 ports d'entrée sélectivement vers les r_2 ports de sortie.

Au niveau des ports de sortie affectés à la
15 granularité longueur d'onde O P, certaines longueurs d'onde sont dirigées vers l'interface de sortie et sont alors multiplexées en bandes puis en fibres par l'intermédiaire des multiplexeurs longueur d'onde - bande MUX $\lambda-B$ et bande - fibre MUX $B-F$. D'autres
20 longueurs d'onde peuvent être dirigées vers la zone de réarrangement interne. Ces longueurs d'onde peuvent alors être rebouclées sur la matrice de commutation MXC d'une part, au niveau des ports d'entrée affectés à la granularité bande IBP par l'intermédiaire des
25 multiplexeurs longueur d'onde - bande MUX $\lambda-B$ situés dans la zone de réarrangement interne et, d'autre part, au niveau des ports d'entrée affectés à la granularité fibre IFP par l'intermédiaire des multiplexeurs longueur d'onde - bande MUX $\lambda-B$ et des multiplexeurs
30 bande - fibre MUX $B-F$.

Au niveau des ports de sortie affectés à la granularité bande OBP, certaines bandes sont dirigées directement vers l'interface de sortie et sont multiplexées en fibres par l'intermédiaire des
5 multiplexeurs bande - fibre MUX_{B-F}. D'autres bandes peuvent être dirigées vers la zone de réarrangement interne. Ces bandes peuvent alors être rebouclées sur la matrice de commutation MXC d'une part, au niveau des ports d'entrée affectés à la granularité longueur
10 d'onde I P par l'intermédiaire des démultiplexeurs bande - longueur d'onde Demux_{B-λ} situés dans la zone de réarrangement interne et, d'autre part, au niveau des ports d'entrée affectés à la granularité fibre IFP par l'intermédiaire des multiplexeurs bande - fibre MUX_{B-F}.

15 Au niveau des ports de sortie affectés à la granularité fibre OFP, certaines fibres sont dirigées directement vers l'interface de sortie. D'autres fibres peuvent être dirigées vers la zone de réarrangement interne. Ces fibres peuvent alors être rebouclées sur
20 la matrice de commutation MXC d'une part, au niveau des ports d'entrée affectés à la granularité bande IBP par l'intermédiaire des démultiplexeurs fibre - bande Demux_{F-B} situés dans la zone de réarrangement interne et, d'autre part, au niveau des ports d'entrée affectés à
25 la granularité longueur d'onde I P par l'intermédiaire des démultiplexeurs fibre - bande Demux_{F-B} et des démultiplexeurs bande - longueur d'onde Demux_{B-λ}.

Selon un avantage de l'invention, cette architecture à matrice unique permet de commuter toutes
30 les granularités à la fois et permet d'être plus flexible en fonction de l'évolution du trafic devant

être commuté dans le commutateur optique. La matrice de commutation unique mise en œuvre dans le commutateur selon l'invention est prévue pour pouvoir coupler l'un quelconque des $p_1+q_1+r_1$ ports d'entrée à l'un
5 quelconque des $p_2+q_2+r_2$ ports de sortie, même si pour une configuration donnée de multi-granularité tous les états possibles du commutateur ne sont généralement pas utilisés.

Ainsi, des ports d'entrée/sortie qui étaient
10 affectés à des longueurs d'onde peuvent ultérieurement être affectés à des bandes de longueurs d'onde de façon à augmenter la capacité de la matrice en terme de débit. Cette augmentation de capacité est réalisée sans changer le commutateur spatial mais en intervenant au
15 niveau des interfaces d'entrée et de sortie, ainsi qu'au niveau de la zone de réarrangement interne. C'est-à-dire en modifiant les connexions au niveau des démultiplexeurs et des multiplexeurs. Une telle matrice de commutation a donc la faculté de s'adapter à des
20 débits de données de plus en plus importants en pouvant changer à volonté de capacité.

Cette matrice de commutation unique MXC met en œuvre la même technologie que les matrices de commutation de niveau de granularité fibre utilisées
25 dans les architectures selon l'art antérieur mettant en œuvre une matrice de commutation séparée pour chaque granularité.

Selon un mode de réalisation particulier de l'invention, l'interface d'entrée et l'interface de
30 sortie telles que décrites précédemment sont supprimées. Le démultiplexage à l'entrée du commutateur

1 et le multiplexage à la sortie sont donc supprimés et le commutateur 1 met uniquement en œuvre la zone de réarrangement interne, constituée par l'ensemble des multiplexeurs et démultiplexeurs situés à l'intérieur de l'architecture. Dans ce mode de réalisation particulier, on entre uniquement au niveau de granularité fibre dans le commutateur 1. Les fibres sont alors dirigées vers la zone de réarrangement interne pour être démultiplexée au niveau de granularité bande, puis au niveau de granularité longueur d'onde.

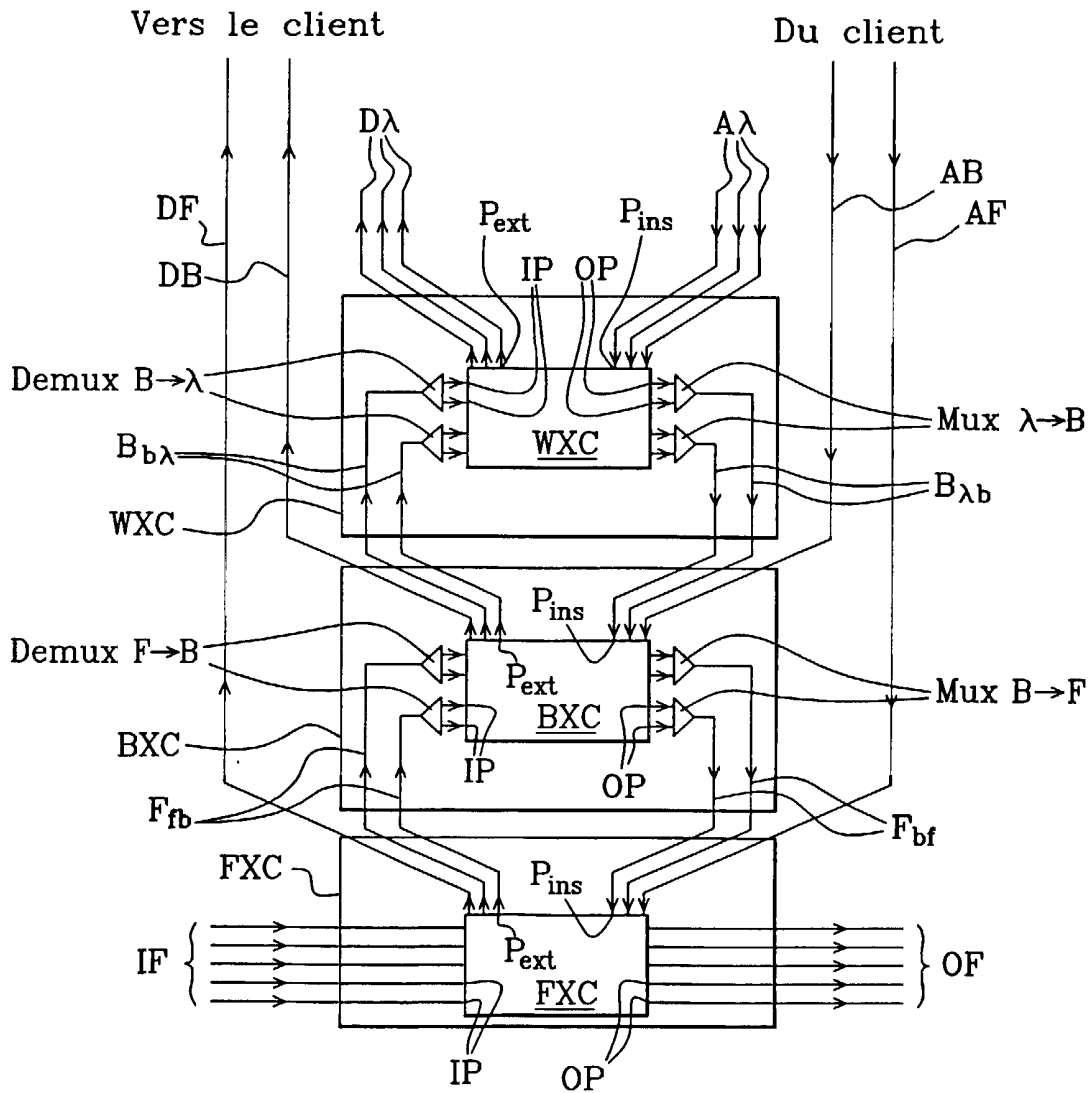
REVENDEICATIONS

- 1) Commutateur optique (1) pour réseau optique utilisant le multiplexage en longueur d'onde, comprenant :
- p1 ports d'entrée (I P) recevant respectivement p1 longueurs d'onde, p2 ports de sortie (O P), et des premiers moyens d'aiguillage aptes à aiguiller les longueurs d'onde reçues sur lesdits p1 ports d'entrée sélectivement vers lesdits p2 ports de sortie, et/ou
 - q1 ports d'entrée (IBP) recevant respectivement q1 bandes de longueurs d'onde, q2 ports de sortie (OBP), et des seconds moyens d'aiguillage aptes à aiguiller les bandes de longueurs d'onde reçues sur lesdits q1 ports d'entrée sélectivement vers lesdits q2 ports de sortie, et/ou
 - r1 ports d'entrée (IFP) recevant respectivement r1 groupements de bandes, r2 ports de sortie (OFP), et des troisièmes moyens d'aiguillage aptes à aiguiller les groupements de bandes reçus sur lesdits r1 ports d'entrée sélectivement vers lesdits r2 ports de sortie, ledit commutateur comportant au moins deux desdits premiers, seconds et troisièmes moyens d'aiguillage, caractérisé en ce que lesdits premiers, seconds et troisièmes moyens d'aiguillage sont constitués d'une matrice de commutation unique (MXC) apte à coupler l'un quelconque desdits $p1+q1+r1$ ports d'entrée à l'un quelconque desdits $p2+q2+r2$ ports de sortie.
- 2) Commutateur selon la revendication 1, caractérisé en ce qu'il comprend une zone de réarrangement interne

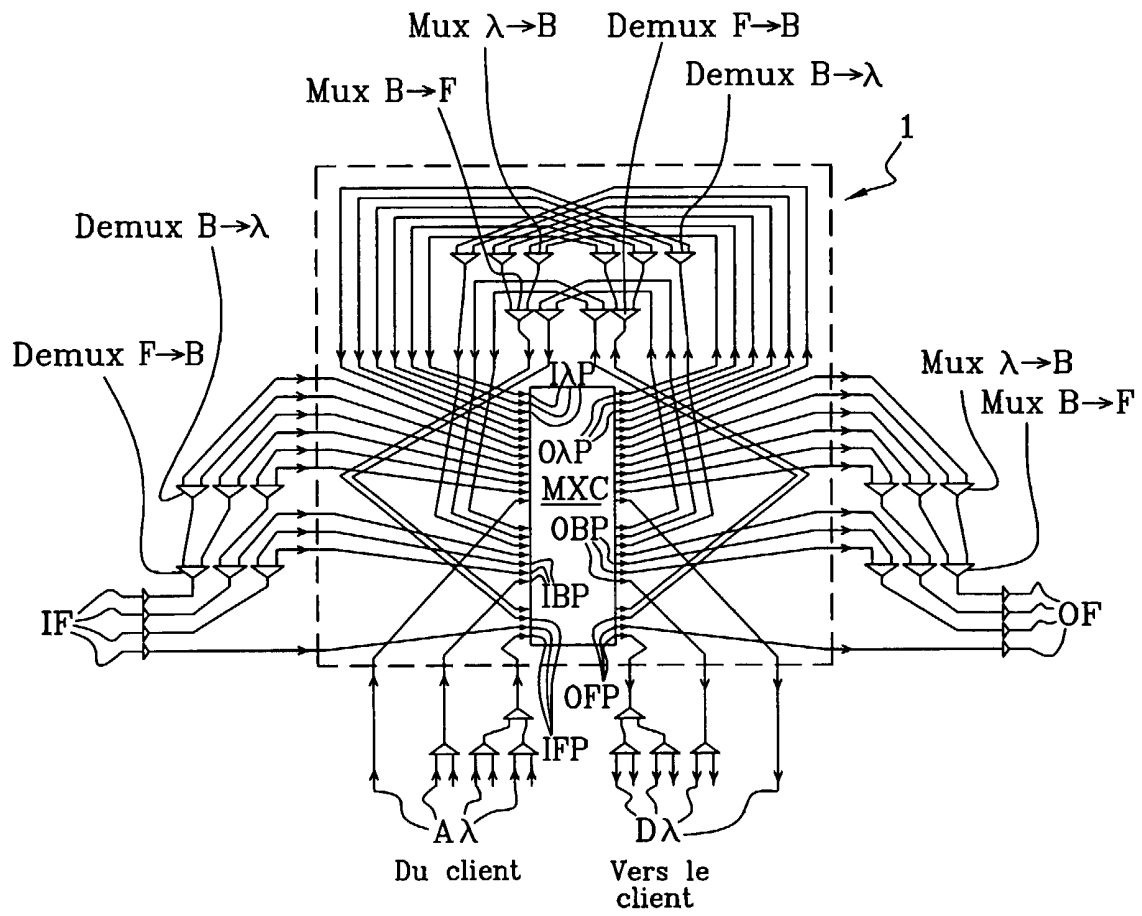
comportant d'une part un ensemble de démultiplexeurs groupements de bandes - bande (Demux $F-B$) et/ou de démultiplexeurs bande - longueur d'onde (Demux $B-\lambda$), et, d'autre part un ensemble de multiplexeurs longueur d'onde - bande (MUX $\lambda-B$) et/ou de multiplexeurs bande - groupements de bandes (MUX $B-F$).

3- Commutateur selon la revendication 2, caractérisé en ce qu'il comprend en plus une interface d'entrée constituée d'un ensemble de démultiplexeurs groupements de bandes - bande (Demux $F-B$) et/ou de démultiplexeurs bande - longueur d'onde (Demux $B-\lambda$) et une interface de sortie constituée d'un ensemble de multiplexeurs longueur d'onde - bande (Mux $\lambda-B$) et/ou de multiplexeurs bande - groupements de bandes (Mux $B-F$).

4) Commutateur selon la revendication 3, caractérisé en ce que l'interface de sortie comprend en plus des convertisseurs de longueurs d'onde et/ou des convertisseurs de bandes de longueurs d'onde et/ou des régénérateurs.



2/2

**Fig. 2**



**RAPPORT DE RECHERCHE
PRÉLIMINAIRE**

établi sur la base des dernières revendications
déposées avant le commencement de la recherche

2814902

N° d'enregistrement
national

FA 592866
FR 0012510

DOCUMENTS CONSIDÉRÉS COMME PERTINENTS		Revendication(s) concernée(s)	Classement attribué à l'invention par l'INPI
Catégorie	Citation du document avec indication, en cas de besoin, des parties pertinentes		
A	EP 1 030 481 A (UNIV GENT ;IMEC VZW (BE)) 23 août 2000 (2000-08-23) * alinéa '0063! - alinéa '0069! * ---	1-4	H04Q11/00 H04J14/02 H04B10/17
A	GB 2 346 280 A (HEWLETT PACKARD CO) 2 août 2000 (2000-08-02) * page 5, ligne 32 - ligne 33; figure 1 * ---	1-4	
A	JINNO M ET AL: "ULTRA-WIDE-BAND WDM NETWORKS AND SUPPORTING TECHNOLOGIES" CORE NETWORKS AND NETWORK MANAGEMENT,AMSTERDAM: IOS PRESS,NL, 1999, pages 90-97, XPO00829416 ISBN: 90-5199-497-4 * figures 6,8 * ---	1-4	
A	DE 199 06 813 A (SIEMENS AG) 7 septembre 2000 (2000-09-07) * le document en entier * -----	1-4	
			DOMAINES TECHNIQUES RECHERCHÉS (Int.CL.7)
			H04Q
Date d'achèvement de la recherche		Examinateur	
14 juin 2001		Meurisse, W	
CATÉGORIE DES DOCUMENTS CITÉS X : particulièrement pertinent à lui seul Y : particulièrement pertinent en combinaison avec un autre document de la même catégorie A : arrière-plan technologique O : divulgation non-écrite P : document intercalaire T : théorie ou principe à la base de l'invention E : document de brevet bénéficiant d'une date antérieure à la date de dépôt et qui n'a été publié qu'à cette date de dépôt ou qu'à une date postérieure. D : cité dans la demande L : cité pour d'autres raisons & : membre de la même famille, document correspondant			

1

EPO FORM 1503 12.99 (P04C14)